

УДК 539.4; 539.375

# ПРОГНОЗИРОВАНИЕ ТРАЕКТОРИИ ПОВЕРХНОСТНОЙ ТРЕЩИНЫ ПРИ КОНТАКТНОМ НАГРУЖЕНИИ В УСЛОВИЯХ ТРЕНИЯ СКОЛЬЖЕНИЯ

**М.М. Семенова, Ю.Г. Матвиенко**

Проведено теоретическое исследование критерия роста поверхностной трещины смешанного типа при контактном нагружении путем осреднения напряжений с учетом влияния  $T$ -напряжений и коэффициентов трения. Показано значительное влияние положения пятна контакта на траекторию трещины.

**Ключевые слова:** осреднение напряжений, контактное нагружение,  $T$ -напряжения, трещина смешанного типа.

## Введение

Конструктивные элементы под действием циклической контактной нагрузки могут разрушаться в результате усталостного повреждения и износа при эксплуатационных напряжениях существенно ниже уровня статической прочности материала. Одной из основных причин разрушения является контактное нагружение, приводящее к поверхностным трещинам и точечной коррозии. При моделировании роста поверхностных трещин интересными являются подходы современной механики разрушения. В случае малой пластической зоны в окрестности вершины трещины по сравнению с ее характерными размерами используются модели и критерии механики хрупкого разрушения. Для описания хрупкого разрушения и траектории трещины в хрупких материалах используют различные критерии механики хрупкого разрушения. Например, для анализа роста трещины в контактной области применяют критерии максимальных тангенциальных напряжений [1] и минимальной плотности энергии деформации [2]. Эти подходы с применением названных критериев учитывают влияние только коэффициентов интенсивности напряжений трещины нормального

отрыва  $K_I$  и поперечного сдвига  $K_{II}$ . В рамках двухпараметрической механики разрушения предложен модифицированный критерий максимальных тангенциальных напряжений [3], учитывающий влияние несингулярных компонентов напряжения ( $T$ -напряжений) у вершины трещины. При определении угла распространения трещины в хрупких материалах в рассмотрение вводятся не только коэффициенты интенсивности напряжений  $K_I$  и  $K_{II}$ , но и  $T$ -напряжения. Положительные несингулярные компоненты  $T$ -напряжений повышают степень стеснения деформаций у вершины трещины, отрицательные  $T$ -напряжения приводят к ее понижению.

## Напряженное состояние у вершины трещины

Описывать поле напряжений в окрестности вершины трещины с помощью только сингулярных компонент напряжения допустимо лишь на очень малых расстояниях перед вершиной трещины. Данного приближения обычно недостаточно для коротких или криволинейных трещин, имеющих место в поверхностном слое при контактных нагрузках в условиях трения скольжения. В этом случае

для описания поля напряжений в окрестности вершины наклонной трещины необходимо использовать как сингулярные компоненты, так и несингулярные компоненты поля напряжений у вершины трещины, связанные с  $T$ -напряжением и влиянием давления на поверхности трещины (рис. 1) [3].

$$\begin{bmatrix} \sigma_{xx} \\ \sigma_{yy} \\ \sigma_{xy} \end{bmatrix} = \frac{K_I \cos(\frac{\theta}{2})}{\sqrt{2\pi r}} \begin{bmatrix} 1 - \sin(\frac{\theta}{2}) \sin(\frac{3\theta}{2}) \\ 1 + \sin(\frac{\theta}{2}) \sin(\frac{3\theta}{2}) \\ \sin(\frac{\theta}{2}) \cos(\frac{3\theta}{2}) \end{bmatrix} + \frac{K_H \sin(\frac{\theta}{2})}{\sqrt{2\pi r}} \begin{bmatrix} -(2 + \cos(\frac{\theta}{2}) \cos(\frac{3\theta}{2})) \\ \cos(\frac{\theta}{2}) \cos(\frac{3\theta}{2}) \\ \cos(\frac{\theta}{2}) - \cos(\frac{\theta}{2}) \sin(\frac{3\theta}{2}) \end{bmatrix} + \begin{bmatrix} T \\ \sigma_{yy}^c \\ \sigma_{xy}^c \end{bmatrix}, \quad (1)$$

где  $r, \theta$  – полярные координаты;  $K_I$  – коэффициент интенсивности напряжений нормального отрыва;  $K_H$  – коэффициент интенсивности напряжений поперечного сдвига;  $\sigma_{xx}$ ,  $\sigma_{yy}$  и  $\sigma_{xy}$  – компоненты напряжения у вершины трещины в декартовой системе координат;  $\sigma_{xy}^c$  и  $\sigma_{yy}^c$  – касательные и нормальные напряжения в окрестности трещины, вызванные действующим в плоскости  $(x, y)$  контактным давлением  $p$  на

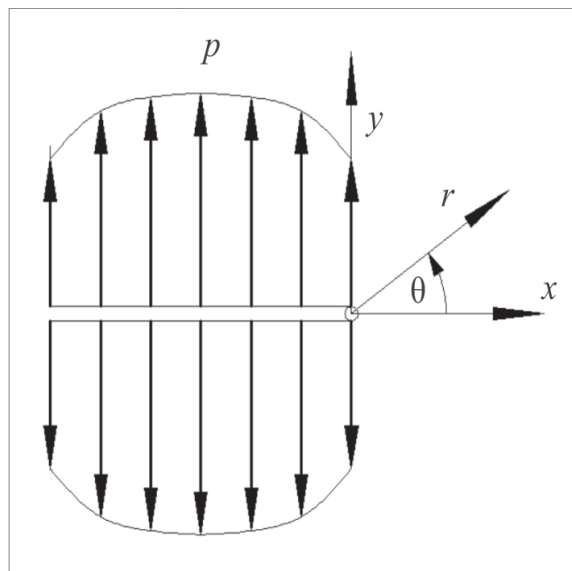


Рис. 1. Трещина под действием контактного давления на ее поверхностях

поверхность трещины, в частности, давлением смазывающего материала. Их распределение достаточно гладкое вдоль поверхности трещины. Коэффициенты интенсивности напряжений  $K_I$ ,  $K_H$  и  $T$ -напряжения при  $\theta = 0^\circ$  определяются следующим образом:

$$\begin{aligned} K_I &= \lim_{r \rightarrow 0} (\sigma_{yy} - \sigma_{yy}^c) \cdot \sqrt{2r\pi}, \\ K_H &= \lim_{r \rightarrow 0} (\sigma_{xy} - \sigma_{xy}^c) \cdot \sqrt{2r\pi}, \\ T &= \lim_{r \rightarrow 0} (\sigma_{xx} - \sigma_{yy} + \sigma_{yy}^c). \end{aligned} \quad (2)$$

Уравнения (1) и (2) действительны, если поверхности трещины нагружены постоянным давлением  $p$ , где  $\sigma_{yy}^c = -p_y$ , а  $\sigma_{xy}^c = -p_x$ , где  $p_x$ ,  $p_y$  – составляющие давления по осям  $x$  и  $y$  соответственно.

### Критерий осредненных максимальных тангенциальных напряжений

Критерий максимальных осредненных тангенциальных напряжений (MATS-критерий) для определения направления роста трещины был предложен для трещин смешанного типа [4]. При этом приняли условие, что рост трещины начинается вдоль радиуса ее скругленной вершины перпендикулярно действию максимальных тангенциальных напряжений  $\sigma_{\theta\theta}$ .

Тангенциальные напряжения  $\sigma_{\theta\theta}$  могут быть записаны в полярной системе координат в виде [5]

$$\sigma_{\theta\theta}(\theta) = \sigma_{xx} \sin^2(\theta) + \sigma_{yy} \cos^2(\theta) - \sigma_{xy} \sin(2\theta). \quad (3)$$

Подставляя напряжения из уравнения (1) в уравнение (3), получаем следующее соотношение для тангенциальных напряжений:

$$\begin{aligned} \sigma_{\theta\theta}(\theta, r) &= \frac{1}{\sqrt{2\pi r}} \cos \frac{\theta}{2} \left[ K_I \cos^2 \frac{\theta}{2} - \frac{3}{2} K_H \sin \theta \right] + \\ &+ T \sin^2 \theta - \sigma_{xy}^c \sin 2\theta + \sigma_{yy}^c \cos^2 \theta. \end{aligned} \quad (4)$$

Далее, используя осреднение тангенциальных напряжений по зоне процесса разрушения  $d$

$$\bar{\sigma}_{\theta\theta} = \frac{1}{d} \int_0^d \sigma_{\theta\theta}(r) dr, \quad (5)$$

записываем критерий максимальных осредненных тангенциальных напряжений  $\bar{\sigma}_{\theta\theta}$  для определения направления роста наклонной трещины в условиях контактных нагрузок и давления смазочного материала на поверхности трещины в виде:

$$\begin{aligned} \frac{\partial \bar{\sigma}_{\theta\theta}}{\partial \theta} &= K_I \sin \theta_0 + K_{II} (3 \cos \theta_0 - 1) + \\ &+ \frac{4}{3} \sqrt{2\pi d} \sigma_{xy}^c \frac{\cos 2\theta_0}{\cos \frac{\theta_0}{2}} - \\ &- \frac{8}{3} (T - \sigma_{yy}^c) \sqrt{2\pi d} \cos \theta_0 \sin \frac{\theta_0}{2} = 0, \quad (6) \end{aligned}$$

где  $\theta_0$  – угол, характеризующий направление роста трещины относительно исходной ее ориентации;  $d$  – размер зоны процесса разрушения в окрестности вершины трещины, который для каждого прироста трещины рассчитывается из предельного случая, полагая  $\sigma_{\theta\theta} = \sigma_0$  при  $\theta = 0^\circ$  и  $r = d$  в (4), т.е.

$$d = \frac{2K_{IC}^2}{\pi(\sigma_0 - \sigma_{yy}^c)^2}. \quad (7)$$

Здесь  $\sigma_0$  – предельные локальные напряжения, действующие в зоне процесса разрушения;  $\sigma_{yy}^c$  – напряжение, вызванное давлением смазывающей жидкости на поверхности трещины,  $K_{IC}$  – критический коэффициент интенсивности напряжений нормального отрыва.

В случае плоской деформации локальная прочность у вершины трещины рассчитывается следующим образом [4–6]:

$$\sigma_0 = -\frac{T}{2} + \sigma_T \sqrt{1 - \frac{3}{4} \left( \frac{T}{\sigma_T} \right)^2}, \quad (8)$$

где  $\sigma_T$  – предел текучести материала.

Для сопоставления результатов расчета направления роста наклонной трещины в условиях контактных нагрузок и давления смазочного материала на поверхности трещины по вышеприведенному MATS-критерию с результатами расчетов по критерию максимальных тангенциальных напряжений (MTS-критерий) приведем также критериальное уравнение согласно [7]

$$\begin{aligned} \frac{\partial \sigma_{\theta\theta}}{\partial \theta} &= [K_I \sin \theta + K_{II} (3 \cos \theta_0 - 1)] - \\ &- \gamma \sin \frac{\theta_0}{2} \cos \theta_0 + \delta \frac{1}{\cos \frac{\theta_0}{2}} \cos 2\theta_0 = 0, \quad (9) \end{aligned}$$

где  $\gamma = 16 \cdot ((T - \sigma_{yy}^c) \cdot \sqrt{2\pi d}) / 3$  и  $\delta = 16 \cdot (\sigma_{xy}^c \cdot \sqrt{2\pi d}) / 6$ . Размер зоны процесса разрушения перед вершиной трещины определяется из условия плоской деформации

$$d = \frac{1}{6\pi} \left( \frac{K_{IC}}{\sigma_T} \right)^2.$$

### Эквивалентная модель контакта

Циклическая контактная нагрузка в условиях трения скольжения вызывает нормальные и касательные напряжения в зоне контакта, что, в свою очередь, влияет на деформирование материала в этой области. Это приводит к зарождению поверхностных трещин, которые всегда поворачиваются в направлении поверхности контакта. Начальный угол зарождающейся трещины зависит от суммарного приложенного напряжения в зоне контакта. В экспериментальных исследованиях ориентация и длина трещины определяются посредством металлографических исследований.

Рассмотрим модель распространения наклонной поверхностной трещины в условиях воздействия контактных нагрузок на примере шестерни. Реальная геометрия зубьев шестерни (рис. 2, а) может быть представлена в виде модели, состоящей из пары подобных контактирующих цилиндров (рис. 2, б) с радиусами, соответствующими радиусам кривизны исследуемых элементов. В дальнейшем эти цилиндры заменяют подобным цилиндром (рис. 2, в), для которого нормальное распределение контактного давления  $p(x)$  выражается с помощью простых аналитических уравнений. Для небольших коэффициентов трения распределение тангенциального  $q(x)$  контактного давления в сцеплении шестеренок определяется формулой [7]:

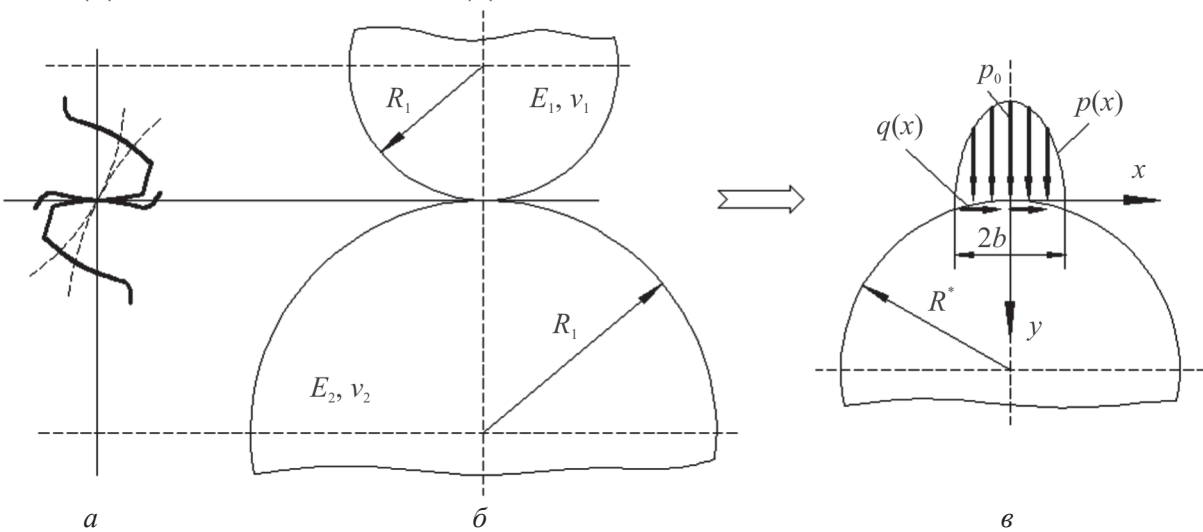
$$q(x) = \mu \cdot p(x), \quad (10)$$

где  $\mu$  – коэффициент трения между контактирующими элементами.

### Контактные нагрузки

Для изучения влияния контактной нагрузки на направление роста поверхностной трещины рассматривается пять возможных вариантов (I–V) положения зоны контакта, создающих различное напряженное состояние в окрестности вершины трещины (рис. 3). Во всех вариантах распределения нормальных  $p(x)$  и тангенциальных  $q(x)$  контактных нагрузок одинаковы для различных положений зоны контакта по отношению к краям трещины (см. рис. 3).

Давление на берега трещины считается подобным тому, которое раскрывает трещину и зависит от различного положения зоны контакта относительно вершины поверхностной трещины:

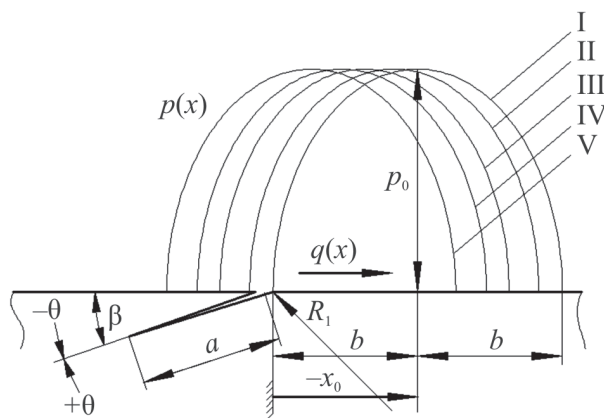


**Рис. 2. Представление геометрии шестерней в виде эквивалентной модели:**  
а – геометрия зацепления зубьев шестерни, б – эквивалентная модель, в – контактное давление

$$p(x) = p_y = p_0 \sqrt{1 - \left(\frac{x_0}{b}\right)^2}, \quad (11)$$

где  $p_0$  – максимальная величина давления;  $\frac{x_0}{b}$  – положение пятна контакта (см. рис. 3).

Данные для расчета направления роста на-  
клонной трещины начальной длины  $a = 20$  мкм  
с углом наклона  $\beta = 20^\circ$  позаимствованы из  
статьи [7]: максимальная величина давления  
 $p_0 = 1779$  МПа, пятно контакта  $b = 0,228$  мм,  
предел текучести  $\sigma_t = 2200$  МПа, вязкость раз-  
рушения  $K_{IC} = 521$  МПа мм<sup>0,5</sup>.



**Рис. 3. Моделирование движущейся зоны контакта в окрестности наклонной трещины:**

$I - x_0 / b = -1$ ;  $II - x_0 / b = -0,98$ ;  $III - x_0 / b = -0,95$ ;  
 $IV - x_0 / b = -0,93$ ;  $V - x_0 / b = -0,9$ .

Исходные параметры, необходимые для рас-  
чета направления роста поверхности трещи-  
ны в условиях контактного нагружения, взяты  
также из [7] и приведены в табл. 1 в виде без-  
размерных величин, а именно, коэффициен-  
ты интенсивности напряжения нормального  
отрыва  $\bar{K}_I = K_I / (p_0 \cdot \sqrt{b})$ , попечного сдвига  
 $\bar{K}_{II} = K_{II} / (p_0 \cdot \sqrt{b})$  и  $T$ -напряжения  $\bar{T} = T / p_0$ .

**Таблица 1**

**Данные для расчета**

	$\mu$	$x_0 / b$			
		-0,9	-0,93	-0,95	-0,97
$\bar{K}_I$	0,1	0,22	0,26	0,33	0,32
$\bar{K}_{II}$		0,038	0,073	0,11	0,131
$\bar{T}$		0	0,275	0,625	0,825
$\bar{K}_I$		0,22	0,27	0,31	0,29
$\bar{K}_{II}$	0,065	0,046	0,077	0,12	0,138
$\bar{T}$		0	0,25	0,6	0,775
$\bar{K}_I$		0,22	0,27	0,31	0,30
$\bar{K}_{II}$	0,04	0,054	0,085	0,125	0,142
$\bar{T}$		0	0,225	0,55	0,75

### **Результаты расчета направления роста наклонной трещины**

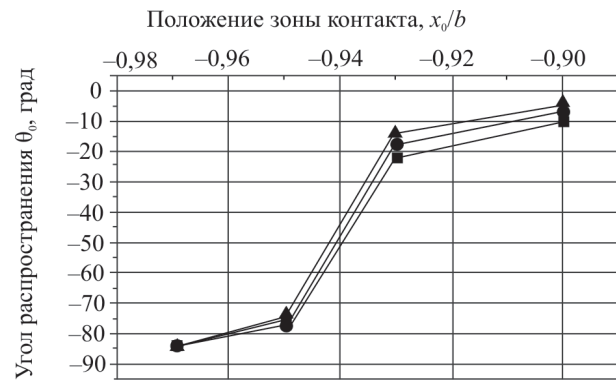
Анализ результатов расчета угла распространения трещины выявил следующие тенденции (рис. 4). Увеличение трения приводит к некоторому росту угла распространения трещины лишь при положении зоны контакта  $x_0/b = 0,93$ . Значительное влияние на направление распространения трещины оказывает положение зоны контакта относительно трещины. Максимальный угол  $\theta_0$  наблюдается при достижении зоной контакта устья трещины, т.е. при  $x_0/b = 0,97$ . Дальнейшее перекрытие зоной контакта устья трещины ( $x_0/b < 0,97$ ) приводит к уменьшению угла распространения трещины относительно исходной ориентации трещины. Такая тенденция изменения угла распространения трещины связана, прежде всего, со значительным уменьшением несингулярных  $T$ -напряжений и коэффициента интенсивности напряжений поперечного сдвига  $K_{II}$  при незначительном изменении коэффициента интенсивности напряжений нормального отрыва  $K_I$  (см. табл. 1)

На рисунке 5 представлено сопоставление результатов расчета углов  $\theta_0$  распространения трещины по MATS-критерию (6) с результатами расчетов соответствующих углов по MTS-критерию (9) в зависимости от положения зоны контакта  $x_0/b$ . При приближении зоны контакта к устью трещины наблюдается значительное расхождение результатов расчета угла  $\theta_0$  по вышеприведенным критериям. При дальнейшем перекрытии зоной контакта устья трещины ( $x_0/b < 0,97$ ) оба критерия дают сопоставимые результаты оценок угла распространения трещины.

Для обоснования достоверности результатов прогнозирования направления распространения поверхностной трещины в условиях воздействия контактных нагрузок при трении скольжения и наличии смазочного материала по двум вышеприведенным критериям необходимы дальнейшие экспериментальные и численные исследования.

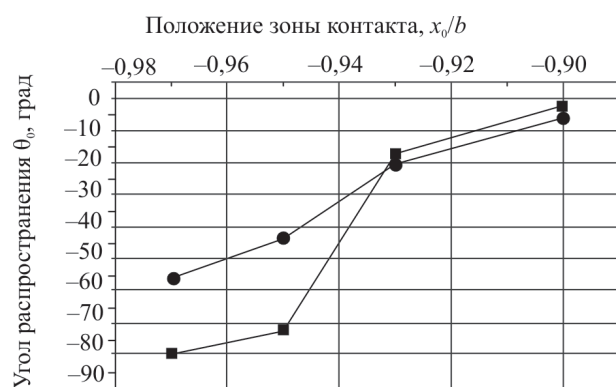
### **Заключение**

Критерий максимальных осредненных тангенциальных напряжений в окрестности вершины трещины был применен для определения



**Рис. 4. Зависимость угла распространения трещины  $\theta_0$  от положения пятна контакта  $x_0/b$  для различных значений коэффициента трения  $\mu$ :**

- –  $\mu = 0,1$ ; ● –  $\mu = 0,065$ ; ▲ –  $\mu = 0,04$



**Рис. 5. Зависимость угла распространения трещины  $\theta_0$  для MATS и MTS критериев от положения зоны контакта  $x_0/b$  (коэффициент трения  $\mu = 0,1$ ):**

- – MATS; ● – MTS

ления угла роста поверхностной трещины смешанного типа при действии контактных нагрузок в условиях трения скольжения и наличия смазочного материала. Показано значительное влияние положения зоны контактирующих тел относительно трещины на угол ее распространения. Коэффициент трения оказывает незначительное влияние на направление распространения трещины.

### **Список литературы**

1. Erdogan, F., and Sih, G.C. On the Crack Extension in Plates Under Plane Loading and Transverse Shear // ASME Journal Basic Engineering. 1963. Vol. 85. P. 525–527.
2. Sih G.C. Strain-energy-density factor applied to mixed mode crack problems // International Journal of Fracture. 1974. Vol. 10. P. 305–321.
3. Parteymüller P. Numerische simulation der 3D-Rißausbreitung mit der Randelementmethode // Fortschritt-Berichte. 1999, VDI 18. 242 p.

4. Matvienko Yu.G. Maximum Average Tangential Stress Criterion for Prediction of the Crack Path // International Journal of Fracture. 2012. Vol. 176. P. 113–118.
5. Матвиенко Ю.Г. Модели и критерии механики разрушения. – М.: ФИЗМАТЛИТ, 2006. – 328 с.
6. Матвиенко Ю.Г. Двухпараметрическая механика разрушения в современных проблемах прочности // Проблемы машиностроения и надежности машин. 2013. № 5. С. 37–46.
7. Zafošnik B., Ren Z., Flašker J., Mishuris G. Modelling of Surface Crack Growth under Lubricated Rolling–Sliding Contact Loading // International Journal of Fracture. 2005. Vol. 134. P. 127–149.

*Материал поступил в редакцию 15.01.14*

**СЕМЕНОВА  
Мария Михайловна**

E-mail: [mms\\_litta@mail.ru](mailto:mms_litta@mail.ru)  
Тел.: (926) 270-65-01

Студент НИЯУ «МИФИ», техник отдела «Прочность, живучесть и безопасность машин» института машиноведения им. А.А. Благонравова РАН. Сфера научных интересов: механика разрушения, ресурс. Автор 1 научной публикации.

**МАТВИЕНКО  
Юрий Григорьевич**

E-mail: [matvienko7@yahoo.com](mailto:matvienko7@yahoo.com)  
Тел.: (499) 135-77-71

Доктор технических наук, профессор, заведующий отделом «Прочность, живучесть и безопасность машин» в институте машиноведения им. А.А. Благонравова РАН. Сфера научных интересов: механика разрушения, живучесть, ресурс, безопасность, имитационное моделирование. Автор более 220 научных публикаций, из них 14 монографий и 10 авторских свидетельств на изобретения.